

一. 选择填空

(1)若信息速率是 $R_b=10\text{kb/s}$, 则单极性不归零码的主瓣带宽是__B__kHz, 半占空的双极性归零码的主瓣带宽是__C__kHz。

- (A) 5 (B) 10 (C) 20 (D) 40

(2)若基带传输系统的信道带宽是 $W=1\text{kHz}$, 则无码间干扰传输的最高速率是__C__k 波特, 此时的频带利用率是__C__波特/Hz。

- (A) 1/2 (B) 1 (C) 2 (D) 4

(3)二进制基带传输系统的数据速率是 2kb/s , 若采用滚降系数为 0.5 的升余弦滚降, 所需的信道带宽将是__B__kHz。

- (A) 1 (B) 1.5 (C) 2 (D) 3

(4)某基带传输系统的发送滤波器、信道和接收滤波器的总传递函数 $H(f)$ 如图 1 所示, 该系统无码间干扰传输时的最高符号速率是__D__M 波特。

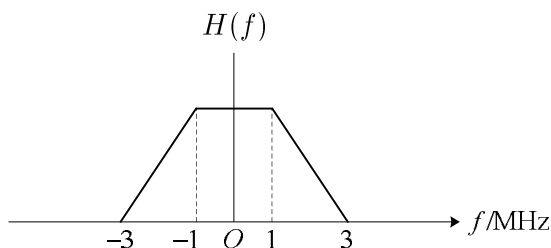


图 1

- (A) 1 (B) 2 (C) 3 (D) 4

(5)八进制 PAM 系统的符号速率是 1000 波特, 对应二进制数据速率是__C__b/s。

- (A) 1000 (B) 2000 (C) 3000 (D) 8000

(6)FM 的调制指数是 β , 基带调制信号的带宽是 W , 则已调信号的带宽近似为__D__。

- (A) $2W/\beta$ (B) $(\beta + 1)W$ (C) $2\beta + W$ (D) $2(\beta + 1)W$

(7)对于相同的基带调制信号 $m(t)$, 以下调制方式中, 占用带宽最小的是__C__, 最大的是__D__。

- (A) 调幅指数为 0.5 的 AM (B) VSB
(C) SSB (D) 调频指数为 5 的 FM

(8)设 $n(t) = n_c(t)\cos(2\pi f_c t) - n_s(t)\sin(2\pi f_c t)$ 是窄带平稳高斯过程, 已知 $n_c(t)$ 的功率是 1mW , 则 $n(t)$ 的功率是__B__mW。

- (A) 1/2 (B) 1 (C) 2 (D) 4

(9) 可将希尔伯特变换看作一线性系统，其单位冲激响应是 $h(t) = \frac{1}{\pi t}$ ，其传递函数为 A 。

- (A) $H(f) = \begin{cases} -j, & f > 0 \\ j, & f < 0 \end{cases}$ (B) $H(f) = \begin{cases} j, & f > 0 \\ -j, & f < 0 \end{cases}$
 (C) $H(f) = -j, -\infty < f < \infty$ (D) $H(f) = j, -\infty < f < \infty$

(10) 图 2 中的 $s(t) = \cos[2\pi f_c t + \phi(t)]$ 是 FM 信号， $n_w(t)$ 是功率谱密度为 $N_0/2$ 的加性白高斯噪声。在有用信号的频带范围内，a 点噪声的双边功率谱密度是 A ，b 点噪声的功率谱密度是 C 。

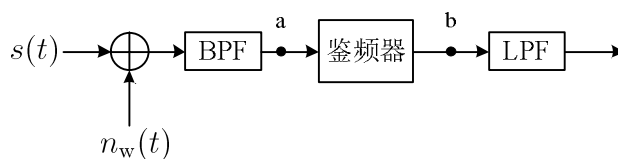
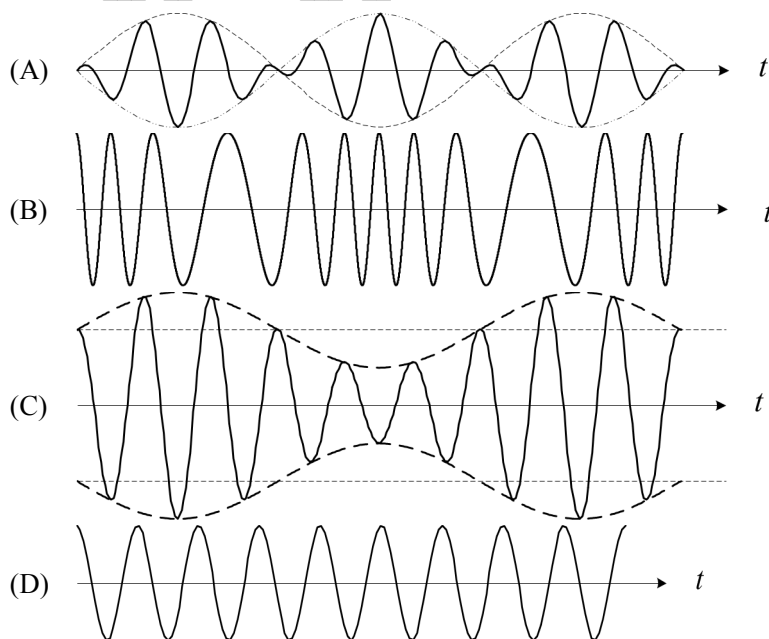


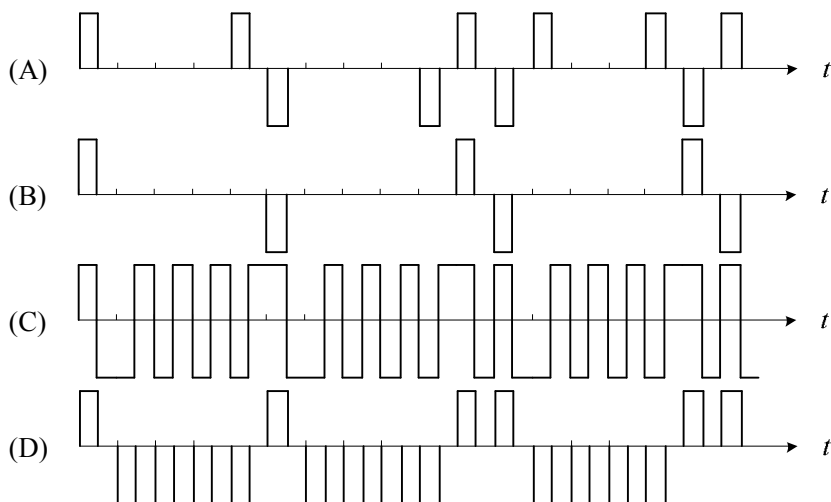
图 2

- (A) $N_0/2$ (B) N_0 (C) $N_0 f^2$ (D) N_0/f^2

(11) 假设基带模拟调制信号 $m(t)$ 是单音正弦波，下列波形图中， A 是 DSB-SC， B 是 FM， C 是 AM， D 是 SSB。



(12) 下列波形图中，A 是 HDB3 码，C 是数字双相码（Manchester 码）B 是 AMI 码，D 是双极性归零码。



(13) 设有 PAM 信号 $s(t) = \sum_{n=-\infty}^{\infty} a_n g(t - nT_s)$ ，其中 $g(t)$ 的能量谱密度 $E_g(f)$ 在 $f = k/T_s$ 处为零 (k 是所有非零的整数)， $\{a_n\}$ 是均值为 1 的平稳序列，则 $s(t)$ 的功率谱中 B。

- (A) 有直流分量，有 $1/T_s$ 分量 (B) 有直流分量，无 $1/T_s$ 分量
(C) 无直流分量，无 $1/T_s$ 分量 (D) 无直流分量，有 $1/T_s$ 分量

(14) 下图是在理想限带及加性白高斯噪声信道条件下数字 PAM 信号的最佳基带传输系统，已知该系统的总体响应 $X(f)$ 是一个滚降系数为 $\alpha > 0$ 的升余弦滚降传递函数。不考虑绝对时延，则发送滤波器和接收滤波器的关系是 B。

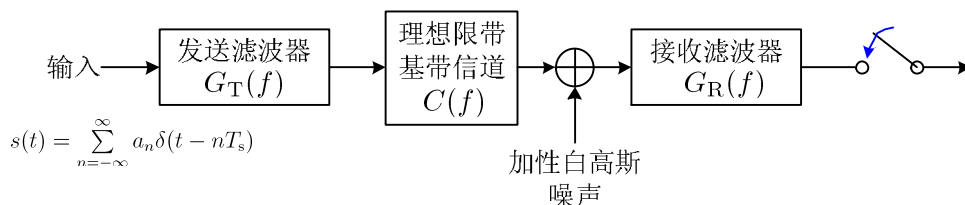


图 3

- (A) $G_T(f)G_R(f) = \text{常数}$ (B) $G_T(f) = G_R(f)$
(C) $G_T(f) = \sqrt{G_R(f)}$ (D) $G_R(f) = \sqrt{G_T(f)}$

(15) 设 $X(t) = A \sin(\omega_c t + \frac{\pi}{4}) + n(t)$ ，其中 $n(t) = n_c(t) \cos \omega_c t - n_s(t) \sin \omega_c t$ 是零均值平稳窄带高斯噪声， A 是一个充分大的常数。下列说法中最正确的是 D。

- (A) $X(t)$ 的复包络服从莱斯分布 (B) $X(t)$ 的复包络服从瑞利分布
(C) $X(t)$ 的包络服从瑞利分布 (D) $X(t)$ 的包络服从高斯分布

(16) 设双极性 NRZ 信号在 $[0, T_b]$ 内发送 $s_1(t) = +A$ 的概率是 $P(s_1)$, 发送 $s_2(t) = -A$ 的概率是 $P(s_2)$ 。接收端利用低通滤波器进行接收, 假设低通滤波器对发送信号近似无失真, 输出噪声功率是 σ_n^2 。接收端在每个符号的中间采样, 然后通过与门限 V_T 比较来进行判决。能使判决错误率最小的判决门限应取为 B 。

(A) $\frac{\sigma_n^2}{2A} \ln \frac{P(s_1)}{P(s_2)}$

(B) $\frac{\sigma_n^2}{2A} \ln \frac{P(s_2)}{P(s_1)}$

(C) $\frac{\sigma_n^2}{2A} \ln[P(s_1) - P(s_2)]$

(D) $\frac{\sigma_n^2}{2A} \ln[P(s_1) \cdot P(s_2)]$

二. 图 4 中 $m(t) = 2 \cos 200\pi t + \cos 400\pi t$, $f_c = 1000\text{Hz}$, LPF 的截止频率为 250Hz。

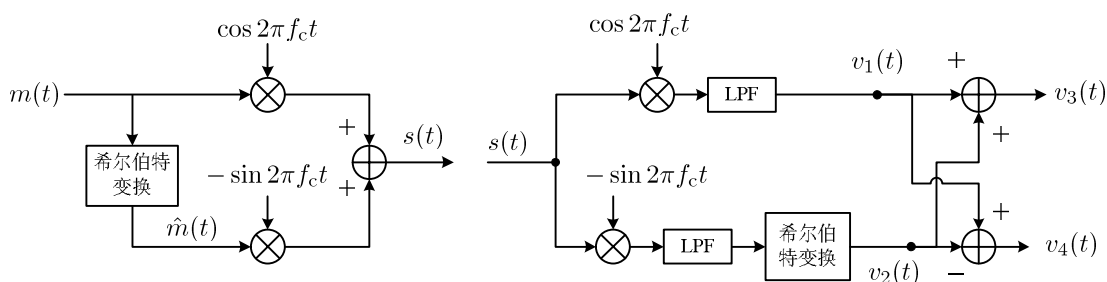


图 4

(1) 写出图中 $\hat{m}(t)$ 的表达式。

(2) 写出 $s(t)$ 的复包络 $s_L(t)$ 表达式及其傅里叶变换 $S_L(f)$ 表达式。

(3) 画出 $s(t)$ 的功率谱密度图。

(4) 写出图中 $v_1(t)$, $v_2(t)$, $v_3(t)$, $v_4(t)$ 的表达式。

解: (1) 希尔伯特变换是实信号移相 90° , 因此

$$\hat{m}(t) = 2 \sin 200\pi t + \sin 400\pi t$$

(2) 由图可知已调信号 $s(t)$ 的 I 路是 $m(t)$, Q 路是 $\hat{m}(t)$, 因此其复包络为

$$s_L(t) = m(t) + j\hat{m}(t) = 2e^{j200\pi t} + e^{j400\pi t} \quad (1)$$

对上式做傅氏变换得到

$$S_L(f) = 2\delta(f - 100) + \delta(f - 200)$$

(3) 任意形如 $A \cdot e^{j(2\pi f_0 t + \phi)}$ 的信号功率是 A^2 , 其功率完全聚集在频率轴的 $f = f_0$ 一点上。功率谱密度的面积是功率, 故此 $A \cdot e^{j(2\pi f_0 t + \phi)}$ 的功率谱密度是 $A^2 \delta(f - f_0)$ 。

根据式(1)可以看出, $s_L(t)$ 的功率谱密度为

$$P_L(f) = 4\delta(f - 100) + \delta(f - 200)$$

$s(t)$ 的功率谱密度的正频率部分是 $P_L(f)$ 右移并除以 4，负频率部分与正频率部分对称，据此可以画出 $s(t)$ 的功率谱密度如图 5 所示。

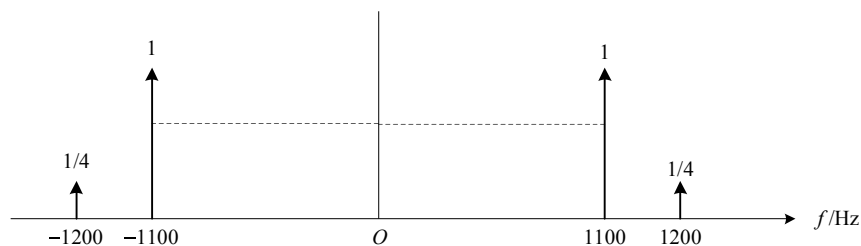


图 5

(4) 图 4 的解调器中，I 路 LPF 输出是 $\frac{1}{2}m(t)$ ；Q 路 LPF 输出是 $\frac{1}{2}\hat{m}(t)$ 。 $\frac{1}{2}\hat{m}(t)$ 经过希尔伯特变换后成为 $-\frac{1}{2}m(t)$ 。因此图中的所求信号为

$$\begin{aligned} v_1(t) &= \frac{1}{2}m(t) = \cos 200\pi t + \frac{1}{2} \cos 400\pi t \\ v_2(t) &= -\frac{1}{2}m(t) = -\cos 200\pi t - \frac{1}{2} \cos 400\pi t \\ v_3(t) &= 0 \\ v_4(t) &= m(t) = 2 \cos 200\pi t + \cos 400\pi t \end{aligned}$$

三. 已知 $m(t)$ 的自相关函数为 $R_m(\tau) = \frac{9 \sin 10000\pi\tau}{10000\pi\tau}$ ， $\max\{|m(t)|\} = 6$ ，对载波进行调幅指数为 0.5 的 AM 调制后得到 $s(t) = [A_c + m(t)] \cos(2 \cdot 10^6 \pi t)$ ，然后通过信道传输。接收端的解调框图如图 6 所示，其中 $n_w(t)$ 是功率谱密度为 $N_0/2$ 的加性白高斯噪声，LPF 的截止频率等于 $m(t)$ 的带宽。

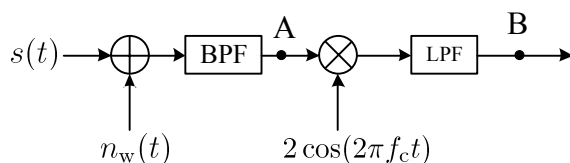


图 6

- (1) 求该 AM 信号的调幅效率。
- (2) 假设带通滤波器 BPF 能使信号 $s(t)$ 无失真通过，同时能最大限度地抑制噪声，试画出 BPF 的传递函数图。
- (3) 求 A 点 AM 信号的功率及噪声的功率。
- (4) 求 B 点有用信号功率（不计入直流的功率）及噪声的功率。

解：(1) 已知调幅指数为 $\frac{1}{2}$ ，故有 $\frac{6}{A_c} = \frac{1}{2}$ ，从而求得 $A_c = 12$ 。 $m(t)$ 的功率为 $R_m(0) = 9$ 。因此调制效率为 $\eta = \frac{9}{12^2 + 9} = \frac{1}{17}$ 。

(2) $m(t)$ 的带宽是 5kHz, $s(t)$ 是双边带调制, 其中心频率是 1MHz, 带宽是 10kHz。因此, 所求 BPF 应当是一个中心频率为 1MHz, 带宽为 10kHz 的理想带通滤波器, 如图 7 所示。

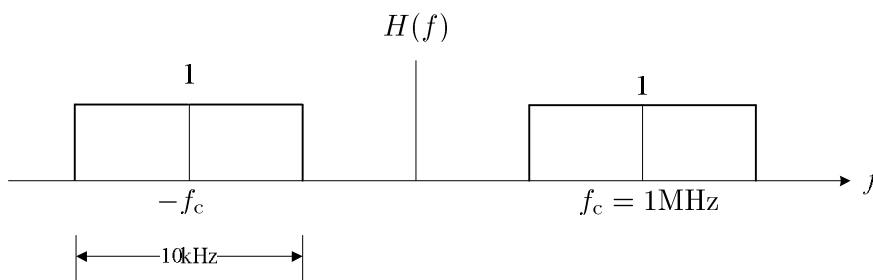


图 7

(3) A 点信号是 $[A + m(t)] \cos(2 \cdot 10^6 \pi t) + n(t)$, 其中 AM 信号的功率是 $P_s = \frac{A_c^2 + P_m}{2} = \frac{12^2 + 9}{2} = 76.5$ 。噪声 $n(t)$ 的功率是 $P_n = N_0 B = 10000 N_0$

(4) B 点输出是 $A_c + m(t) + n_c(t)$, 其中有用信号 $m(t)$ 的功率是 9, 噪声 $n_c(t)$ 是 $n(t)$ 的同相分量。根据窄带噪声的性质, $n_c(t)$ 与 $n(t)$ 功率相同, 均为 $10000 N_0$

四. 图 8 中序列 $\{b_n\}$ 的元素以独立等概方式取值于 ± 1 。 $a_n = b_n + b_{n-1}$, $g(t) = \text{sinc}\left(\frac{t}{T_b}\right) = \frac{\sin \frac{\pi t}{T_b}}{\frac{\pi t}{T_b}}$ 。

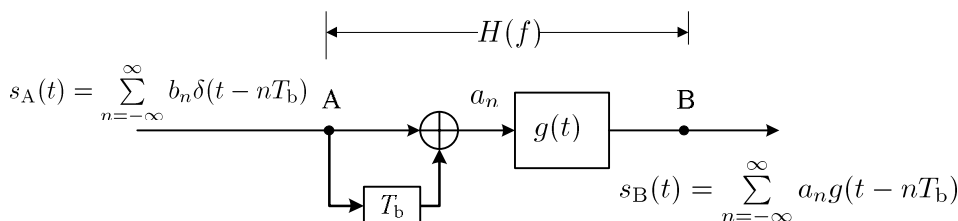


图 8

- (1) 求序列 $\{a_n\}$ 的自相关函数 $R_a(m) = E[a_n a_{n+m}]$ 。
- (2) 写出 A 点信号 $s_A(t) = \sum_{n=-\infty}^{\infty} b_n \delta(t - nT_b)$ 的功率谱密度。
- (3) 求 A 点到 B 点的传递函数 $H(f)$ 及对应的冲激响应 $h(t)$ 。
- (4) 求 B 点信号 $s_B(t) = \sum_{n=-\infty}^{\infty} a_n g(t - nT_b)$ 的功率谱密度。
- (5) 求 $Z(f) = \sum_{m=-\infty}^{\infty} H\left(f - \frac{m}{T_b}\right) = ?$

解: (1) 序列 $\{a_n\}$ 的自相关函数为

$$\begin{aligned}
 R_a(m) &= E[a_n a_{n+m}] = E[(b_n + b_{n-1})(b_{n+m} + b_{n+m-1})] \\
 &= E[b_n b_{n+m} + b_n b_{n+m-1} + b_{n-1} b_{n+m} + b_{n-1} b_{n+m-1}] \\
 &= E[b_n b_{n+m}] + E[b_n b_{n+m-1}] + E[b_{n-1} b_{n+m}] + E[b_{n-1} b_{n+m-1}]
 \end{aligned} \tag{2}$$

由于 $\{b_n\}$ 的元素以独立等概方式取值于 ± 1 ，故

$$R_b(m) = \mathbb{E}[b_i b_j] = \begin{cases} 1, & i = j \\ 0, & i \neq j \end{cases} \quad (3)$$

将(3)代入(2)后得到

$$R_a(m) = \begin{cases} 2, & m = 0 \\ 1, & m = \pm 1 \\ 0, & |m| > 1 \end{cases}$$

(2)A 点信号 $s_A(t) = \sum_{n=-\infty}^{\infty} b_n \delta(t - nT_b)$ 是一个以 $\delta(t)$ 为脉冲的 PAM 信号。由于序列 $\{b_n\}$ 是零均值的独立序列，其方差为 $\sigma_b^2 = 1$ ，故 A 点信号的功率谱密度是

$$P_A(f) = \frac{\sigma^2}{T_b} |\mathcal{F}[\delta(t)]|^2 = \frac{1}{T_b}$$

(3)在 A 点施加一个单位冲激，则 B 点输出就是冲激响应 $h(t)$ 。从图中可以看出

$$h(t) = g(t) + g(t - T_b) = \text{sinc}\left(\frac{t}{T_b}\right) + \text{sinc}\left(\frac{t}{T_b} - 1\right)$$

对应的传递函数为

$$H(f) = (1 + e^{-j2\pi f T_b})G(f) = e^{-j\pi f T_b} \cdot 2 \cos(\pi f T_b)G(f) \quad (4)$$

其中的 $G(f)$ 是 $g(t) = \text{sinc}\left(\frac{t}{T_b}\right)$ 的傅氏变换，为

$$G(f) = \begin{cases} T_b, & |f| \leq \frac{1}{2T_b} \\ 0, & \text{else} \end{cases}$$

因此

$$H(f) = \begin{cases} e^{-j\pi f T_b} \cdot 2T_b \cos(\pi f T_b), & |f| \leq \frac{1}{2T_b} \\ 0, & \text{else} \end{cases} \quad (5)$$

(4)B 点信号是 A 点信号通过线性系统 $H(f)$ 后的输出，故其功率谱密度为

$$\begin{aligned} P_B(f) &= P_A(f)|H(f)|^2 \\ &= \begin{cases} 4T_b \cos^2(\pi f T_b), & |f| \leq \frac{1}{2T_b} \\ 0, & \text{else} \end{cases} \end{aligned}$$

(5)【解一】 $\sum_{m=-\infty}^{\infty} H\left(f - \frac{m}{T_b}\right)$ 是 f 的周期函数，周期为 $1/T_b$ 。在其中的一个周期 $[-\frac{1}{2T_b}, \frac{1}{2T_b}]$ 内就是 $H(f)$ ，根据式(4)是 $T_b[1 + e^{-j2\pi f T_b}]$ 。而这个又正好是周期为 $1/T_b$ 的周期函数，所以

$$Z(f) = T_b[1 + e^{-j2\pi f T_b}], \quad -\infty < f < \infty \quad (6)$$

【解二】 $\frac{1}{T_b} \sum_{m=-\infty}^{\infty} H\left(f - \frac{m}{T_b}\right)$ 是 $h(t)$ 的理想采样 $\sum_{n=-\infty}^{\infty} h(nT_b)\delta(t - nT_b)$ 的傅里叶变换。今 $h(t) = g(t) + g(t - T_b) = \text{sinc}\left(\frac{t}{T_b}\right) + \text{sinc}\left(\frac{t}{T_b} - 1\right)$ ，其理想采样是 $\delta(t) + \delta(t - T_b)$ ，其傅氏变换乘以 T_b 后为(6)。

【解三】将式中的 f 代为 $f - \frac{m}{T_b}$ ：

$$H\left(f - \frac{m}{T_b}\right) = G\left(f - \frac{m}{T_b}\right) \left[1 + e^{j2\pi\left(f - \frac{m}{T_b}\right)T_b}\right] = G\left(f - \frac{m}{T_b}\right) (1 + e^{j2\pi f T_b}) \quad (7)$$

上式两边对 m 求和：

$$\sum_{m=-\infty}^{\infty} H\left(f - \frac{m}{T_b}\right) = (1 + e^{j2\pi f T_b}) \sum_{m=-\infty}^{\infty} G\left(f - \frac{m}{T_b}\right) \quad (8)$$

$G(f)$ 是宽度为 $\frac{1}{T_b}$ ，高度为 T_b 的矩形，其平移叠加 $\sum_m G(f - \frac{m}{T_b})$ 形成一条高度为 T_b 的直线。因此式(8)右边等于式(6)右边。

五. 图 9 中， $s_1(t) = Ag(t)$ 和 $s_2(t) = -Ag(t)$ 等概出现 ($A > 0$)， $n_w(t)$ 是功率谱密度为 $N_0/2$ 的加性白高斯噪声， $r(t)$ 经过冲激响应为 $h(t) = g(t)$ 的滤波器后成为 $y(t)$ ，对其在 t_0 ($0 \leq t_0 \leq 1$) 时刻采样得到 $l = y(t_0)$ ，判决规则是： l 的极性为正(负)判发送的是 $s_1(s_2)$ 。

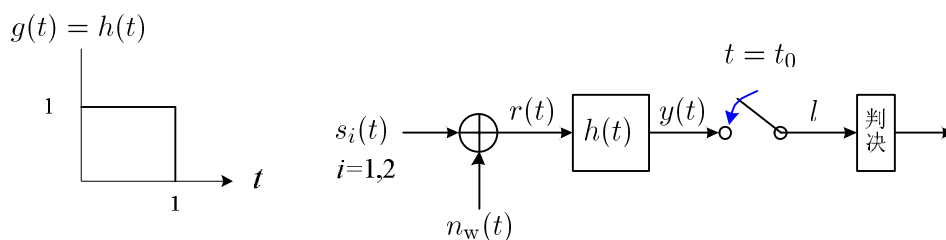


图 9

- (1) 假设发送 $s_1(t)$ ，画出无噪声情况下 $y(t)$ 的图形。
- (2) 求发送 $s_1(t)$ 条件下， l 的均值与方差。
- (3) 求平均判决错误率 P_e 。

(4)令 Δ 表示 t_0 与最佳取样时刻的偏差的绝对值。固定 N_0 和目标错误率 P_e ，则需要的发送信号能量 $E_b = A^2$ 将是 Δ 的函数。若已知 $\Delta = 0$ 时需要的能量为 E_0 ，试画出函数 $E_b(\Delta)$ 在区间 $[0, 0.5]$ 内的图形。

解：(1) $Ag(t)$ 与 $h(t) = g(t)$ 卷积的结果是一个三角脉冲，如图 10 所示。

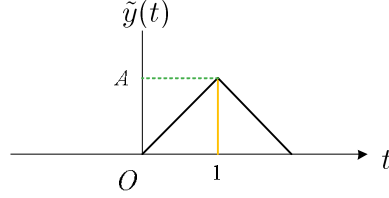


图 10

(2)发送 $s_1(t)$ 时，取样前的信号是

$$y(t) = \tilde{y}(t) + n(t)$$

其中的 $\tilde{y}(t)$ 就是图 10 中的信号。 $n(t)$ 是加性白高斯噪声通过滤波器后的输出，在任意时刻 $n(t)$ 都是均值为 0、方差为 $\sigma^2 = \frac{N_0}{2} E_h = \frac{N_0}{2}$ 的高斯随机变量。

在 t_0 时刻 ($0 \leq t_0 \leq 1$) 采样后得到

$$l = y(t_0) = At_0 + n(t_0)$$

其均值为 At_0 ，方差为 $N_0/2$ 。

(3)发送 $s_1(t)$ 条件下，若 $l < 0$ 则判决出现错误，其概率为

$$P(e|s_1) = \Pr\{l < 0\} = \Pr\{n(t_0) < -At_0\} = \frac{1}{2} \operatorname{erfc} \left(\frac{At_0}{\sqrt{2\sigma^2}} \right) = \frac{1}{2} \operatorname{erfc} \left(\sqrt{\frac{A^2 t_0^2}{N_0}} \right)$$

根据对称性可知 $P(e|s_2) = P(e|s_1)$ ，故平均判决错误率为

$$P_e = \frac{1}{2} \operatorname{erfc} \left(\sqrt{\frac{A^2 t_0^2}{N_0}} \right)$$

(4)最佳采样时刻是 1， $t_0 = 1 - \Delta$ 。由于目标误比特率固定， N_0 固定，因此 $A^2 t_0^2 = E_b t_0^2$ 应为常数：

$$E_b t_0^2 = \text{constant} \quad (9)$$

已知 $t_0 = 1$ 时 $E_b = E_0$ ，故

$$E_b t_0^2 = E_0 \tag{10}$$

$$E_b = \frac{E_0}{t_0^2} = \frac{E_0}{(1-\Delta)^2} \tag{11}$$

图 11 是式(11)的图形。

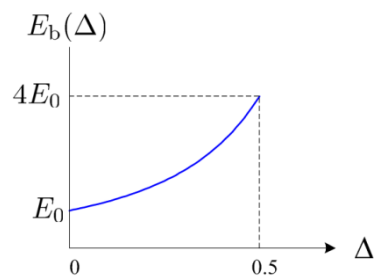


图 11